

**ЧЕТЫРЕХМАГНОННЫЙ РАСПАД И КИНЕТИЧЕСКАЯ НЕУСТОЙЧИВОСТЬ
БЕГУЩЕЙ МАГНИТОСТАТИЧЕСКОЙ ВОЛНЫ
В ПЛЕНКАХ ЖЕЛЕЗО-ИТРИЕВОГО ГРАНАТА**

П.Е. Зильберман, С.А. Никитов, А.Г. Темирязев

В пленках железо-итриевого граната (ЖИГ), насыщенных в нормальном магнитном поле H , при распространении интенсивной магнитостатической волны (МСВ) впервые наблюдалось рождение волн-сателлитов, вызванное четырехмагнонным распадом МСВ, переходящим при больших надкритичностях в кинетическую неустойчивость.

Исследовалось распространение интенсивных прямых объемных магнитостатических волн (МСВ) в пленках ЖИГ с ориентациями (111), (110) и толщинами $a = 0,5 - 5$ мкм. МСВ возбуждались и принимались с помощью микрополосковых антенн шириной ~ 6 мкм, разнесенных на расстояние $l = 0,5 - 7$ мм. На входную antennу подавался монохроматический непрерывный СВЧ сигнал от генератора. Сигнал с выходной антенны подавался на анализатор спектра. Изучалась зависимость спектра от входной мощности P (разности между падающей на входную antennу и отраженной от нее мощностями).

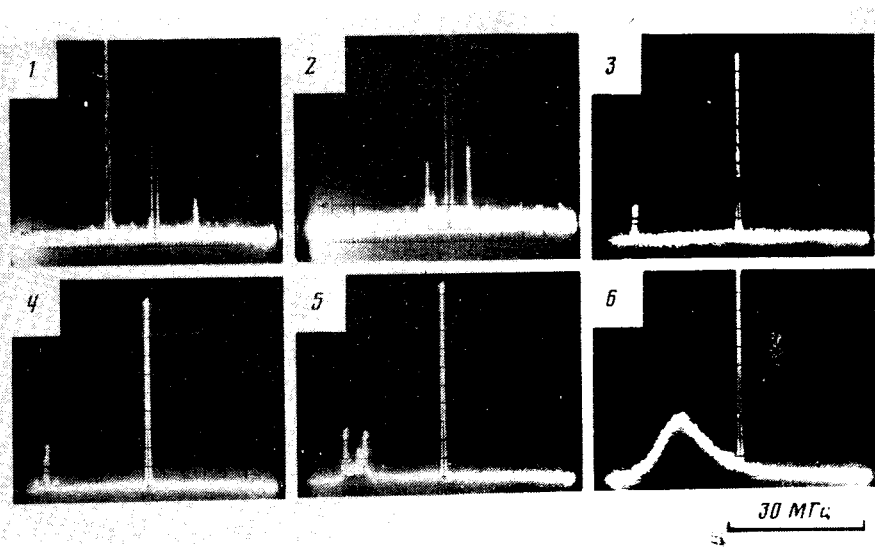


Рис. 1. Спектры на выходе при различных P : $a = 0,5$ мкм, $f_c = 2400$ МГц; 1 – $P = 0,68$ мВт, $H = 2471,8$ Э; 2 – $P = 0,51$ мВт, $H = 2472,5$ Э; 3 – $P = 1$ мВт; 4 – $P = 1,2$ мВт; 5 – $P = 1,5$ мВт; 6 – $P = 3,1$ мВт; 3 – $H = 2467,2$ Э

При достаточно малых P (например, $P < 0,5$ мВт для пленки с $a = 0,54$ мкм) распространение МСВ носило линейный характер – анализатор спектра регистрировал только подаваемую на вход частоту f_c . Начиная с некоторого порогового $P_{\text{пп}}$ ($P_{\text{пп}} \sim 0,5 - 1$ мВт для $a \sim 0,5 - 1$ мкм и при f_c не слишком близкой к частотам спектральных щелей¹⁾) в спектре на выходе, кроме частоты f_c , появлялись дискретные частоты – сателлиты, равноудаленные от f_c – рис. 1 (кадры 1, 2). Как правило (но не всегда – рис. 1 (2)), низкочастотный сателлит имел большую амплитуду. В ряде случаев амплитуда высокочастотного сателлита понижалась до уровня собственных шумов – рис. 1 (3). При дальнейшем увеличении P число сателлитов ро-

¹⁾ При f_c близкой к частотам непропускания слабого сигнала ("щелям") ¹, порог $P_{\text{пп}}$ получался несколько выше ($P_{\text{пп}} \sim 3$ мВт для $a \approx 0,5$ мкм). При $P \geq 3$ мВт сами щели не регистрировались.

сло — рис. 1 (4, 5) и постепенно образовывался широкий шумоподобный пик — рис. 1 (6). Частота в центре этого пика, $f_{ш}$, практически не зависела от f_c . На рис. 2 (1, 2, 3) показано, что шум стоит на месте при увеличении f_c и фиксированном H . Амплитуда пика падает с увеличением ($f_c - f_{ш}$). Однако в пленках с $a \lesssim 1$ мкм пик можно было наблюдать вплоть до ($f_c - f_{ш}$) ~ 300 мГц. В пленках с $a \gtrsim 3$ мкм пик наблюдался только при $|f_c - f_{ш}| \lesssim \Delta f_{ш}$ — ширины пика. В зависимости от образца $\Delta f_{ш}$ составляла 10 — 20 МГц. Из рис. 3 видно, что при уменьшении H (f_c — фиксировано) шумовой пик передвигается в сторону меньших частот. Зависимость $f_{ш}(H)$ ложится на прямую линию с тангенсом угла наклона, равным гиромагнитному отношению ($\gamma/2\pi$), причем $f_{ш}$ всегда оказывается близкой к нижней границе спектра MCB f_0 ($f_0 < f_{ш}$). Понижение P (от некоторого высокого уровня) приводило к следующим изменениям: 1) если $|f_c - f_{ш}| \lesssim \Delta f_{ш}$, то наблюдался переход в уже описанный режим дискретных сателлитов; 2) если $|f_c - f_{ш}| \gg \Delta f_{ш}$, то наблюдалось либо плавное спадание амплитуды шумового пика, либо скачкообразное исчезновение шума. В последнем случае шум появлялся вновь скачком при несколько большем P , чем исчезал. Этот гистерезис и "жесткое" возбуждение связаны, видимо, с выключением части процессов релаксации при большом уровне шума².

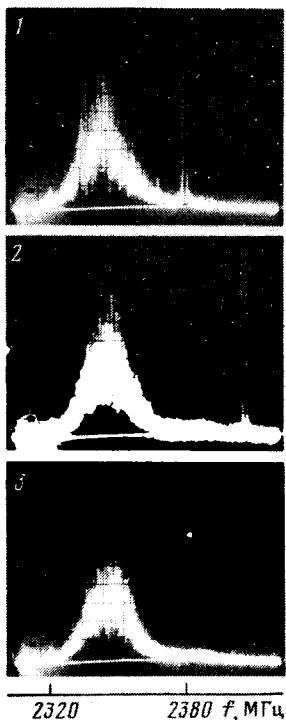


Рис. 2

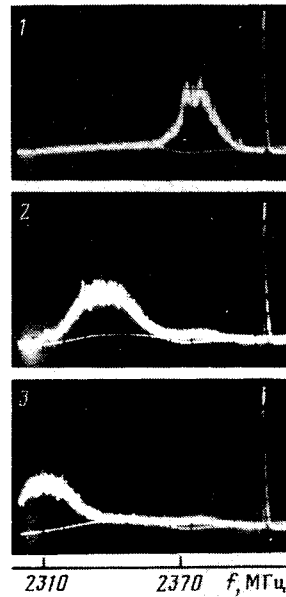


Рис. 3

Рис. 2. Спектр при различных f_c : $P = 3$ мВт, $H = 2469,7$ Э, $a = 0,5$ мкм; 1 — $f_c = 2380$ МГц, 2 — $f_c = 2400$ МГц, 3 — $f_c = 2415$ МГц

Рис. 3. Спектр при различных H : $P = 43$ мВт, $f_c = 2400$ МГц, $a = 0,5$ мкм; 1 — $H = 2460,3$ Э, 2 — $H = 2442,9$ Э, 3 — $H = 2434,9$ Э

Рождение сателлитов и шума нельзя объяснить, как в³, трехмагнонным распадом MCB с последующей неустойчивостью запорогового состояния⁴. У нас $H > 16\pi M/3$ (M — намагниченность насыщения) и трехмагнонные распады запрещены. Наши наблюдения отличаются также от описанной в⁵ модуляционной неустойчивости MCB. В⁵ сателлиты наблюдались только

вблизи нижнего края спектральной щели. Мы же наблюдали их при любых f_c в пределах спектра МСВ. Кроме того при достаточно больших P сателлиты не исчезали, как в ⁵, а, наоборот, их число росло и они сливались в шумовой пик. По нашему мнению, описанные наблюдения можно объяснить четырехмагнитным распадом МСВ. При таком распаде:

$$2f(ka) = (k_1 a) + f(k_2 a), \quad 2k = k_1 + k_2, \quad (1)$$

где \mathbf{k} и $k_{1,2}$ – волновые векторы исходной волны и волн-сателлитов, $f(ka)$ и $f(k_{1,2}a)$ – законы дисперсии, $k \equiv |\mathbf{k}|$ и $k_{1,2} \equiv |k_{1,2}|$. Первое уравнение (1) обеспечивает, в согласии с рис. 1 (1, 2), равноудаленность частот сателлитов $f(k_{1,2})$ от $f(ka) \equiv f_c$. Разлагая первое уравнение (1) на начальном участке спектра ($ka, k_{1,2}a \ll 1$), получаем, что система (1) имеет решение только при

$$\xi \equiv \frac{d^2 f(ka)}{d(ka)^2} \left| \frac{df(ka)}{d(ka)} \right| < 0. \quad (2)$$

Согласно линейной теории ⁶, условие (2) выполняется при f_c , меньших частоты первой щели. Именно при таких f_c в экспериментах отмечался наименьший порог рождения сателлитов. Судя по нашим наблюдениям с ростом P щели схлопываются и (2) начинает удовлетворяться по всему спектру. При $\xi < 0$ каждому k_1 ($k_1 \leq k_2$) из интервала $0 < k_{min} \leq k_1 < k$ отвечает определенное решение (1), причем $k_{min} = \frac{1}{2} k^2 |\xi| a$ и $|\xi| \sim 1$, т.е. $k_{min} \ll k$ (при $ka \ll 1$). Поэтому $\min f(k_1 a) = f(k_{min} a)$ близка к границе спектра f_0 , что и наблюдается. При малых надкритичностях вначале обнаруживается та частота $f(k_1 a)$, которой отвечает наименьший порог – рис. 1 (3). С ростом надкритичности включаются все новые каналы распада (другие допустимые k_1) – рис. 1 (4, 5). Линии отдельных сателлитов сливаются в широкий пик – рис. 1 (6). Взаимодействие между сателлитами хаотизует фазу и мы переходим к режиму кинетической неустойчивости ⁷. Кинетическая неустойчивость обменных спиновых волн в массивных образцах обсуждалась в ⁸. Однако кинетическая неустойчивость дипольных волн ранее, видимо, была неизвестна. В нашем случае речь идет о размерном эффекте, поскольку дипольные волны существуют в интервале $0 < k \lesssim 1/2a$. Кроме того, в отличие от ⁸, исходная МСВ имела фиксированное \mathbf{k} . Именно поэтому на начальной стадии шел четырехмагнитный распад с фиксированными фазами и лишь с ростом надкритичности из-за открытия многих каналов распада развивалась кинетическая неустойчивость. По той же причине у нас не регистрировалось излучение на частоте $2f_{\text{ш}}$, характерное для ⁸.

Авторы приносят благодарность Ю.В.Гуляеву за внимание к работе и поддержку.

Литература

1. Андреев А.С., Гуляев Ю.В., Зильберман П.Е. и др. ЖЭТФ, 1984, 86, 1005.
2. Котюжанский Б.Я., Прозорова Л.А., Свистов Л.Е. ЖЭТФ, 1985, 88, 221.
3. Медников А.М. ФТТ, 1981, 23, 242.
4. Захаров В.Е., Львов В.С., Старобинец С.С. УФН, 1974, 114, 609.
5. Кацникос Б.А., Ковшиков Н.Г., Славин А.Н. Письма в ЖТФ, 1984, 10, 936.
6. De Wames R.E., Wolfram T. J. Appl. Phys., 1970, 41, 987.
7. Цытович В.Н. Нелинейные эффекты в плазме, М.: Наука, 1967, 287.
8. Лавриненко А.В., Львов В.С., Мелков Г.А., Черепанов В.Б. ЖЭТФ, 1981, 18, 1022.